

С.Э. Аветисов <sup>1</sup>, А.С. Павлюк<sup>1,2</sup>, М.А. Стенина <sup>2</sup>, А.А. Федоров<sup>1</sup>, Л.П. Кривов <sup>2</sup>, Д.С. Николаенко <sup>1</sup>, П.Ю. Баранов <sup>1</sup>, А.М. Суббот <sup>1</sup>, А.И. Тухватулин<sup>1</sup> <sup>1</sup>ГУ НИИ глазных болезней РАМН, Москва

Extraocular muscles of mdx-mice as a target for cellular therapy: the histological characteristic with use computer morphometrical analysis

S.E. Avetisov <sup>1</sup>, A.S. Pavliuk <sup>1,2</sup>, M.A. Stenina <sup>2</sup>, A.A. Fedorov <sup>1</sup>, L.P. Krivov <sup>2</sup>, D.S. Nikolaenko <sup>1</sup>, P.Yu. Baranov <sup>1</sup>, A.M. Subbot <sup>1</sup>, A.I. Tuhvatulin <sup>1</sup>

В исследовании методами компьютерной морфометрии и статистического анализа показано наличие процессов дегенерации и регенерации в экстраокулярных мышцах mdx—мышей, подобраны критерии сравнения степени дегенерации, на основании чего предложено использовать экстраокулярные мышцы mdx—мышей в качестве модели миодегенеративных процессов глазодвигательных мышц человека для экспериментальных разработок и оценки эффективности клеточной и генной терапии.

**Ключевые слова**: mdx-мыши, экстраокулярные мышцы, биологическая модель, морфометрия.

### Введение

Миодегенеративные процессы в экстраокулярных мышцах (ЭОМ) довольно часто развиваются как неблагоприятный исход у лиц, перенесших офтальмогерпес, а также после токсических поражений и травм [1]. У пациентов с такой патологией наблюдаются различные виды косоглазия, трудно поддающиеся лечению. Возможно, что в этих случаях может оказаться эффективной терапия «клеточными препаратами» [2–4].

На данный момент разработка методов клеточной терапии патологии ЭОМ осложняется отсутствием адекватной экспериментальной модели, которую можно было бы использовать для доклинических исследований и оценки терапевтического эффекта. Нами выполнена попытка оценить возможность использования mdx-мышей в качестве экспериментальной модели для разработки подходов клеточной терапии миодегенеративных процессов глазодвигательного аппарата [5].

Мышечная дистрофия у mdx-мышей обусловлена точечной мутацией в 23-м экзоне гена дистрофина, расположенного в X-хромосоме [6]. Миодистрофию у этих мышей следует расценивать как процесс, гомологичный прогрессирующей мышечной дистрофии у людей.

Существует ряд исследований, касающихся вовлечения экстраокулярных мышц mdx-мышей в миодегенеративный процесс. В одних довольно однозначно говорится о том, что ЭОМ несмотря на отсутствие в их структуре дистрофина, особым образом компенсируют этот дефект и остаются

Using computer-assisted morphometrycal analysis we show degeneration and regeneration processes in mdx-mouse extraocular muscles. We've also selected statistical criteria for assessment of degeneration rate. Thus we suggest to use mdx-mouse extraocular muscles as experimental bioilogical model of myodegenerative processes in human extraocular muscles in search, development and effectiveness assessment of different ways of treatment, among them cell-based and gene therapy.

**Key words:** mdx-murines, extraocular muscles, bioilogical model, morphometria.

полностью морфологически и функционально сохранными [7]. Механизм такой компенсации, однако, остается дискуссионным [8, 9]. В других исследованиях было показано, что добавочные ЭОМ и глобулярные слои всех ЭОМ mdx-мышей всё-таки вовлекаются в патологический процесс, хотя и в меньшей степени чем, например, m. quadriceps femoris тех же животных [8, 10]. Степень повреждения мышц оценивается в этих исследованиях по экспрессии маркерных белков (дистрофин, утрофин, дистрогликаны, ламинины) методами RT-PCR, иммуногистохимии. Существует и морфологическая характеристика сравниваемых групп мышц. Однако, ресурс, который имеет «классический» гистологический анализ для оценки степени повреждения мышечной ткани, остается использованным не оптимально. Это происходит, в частности, из-за незначительной разницы в оцениваемых количественных показателях, таких, как ядерноцитоплазматическое соотношение, площадь мышечных волокон и т. д., различия между которыми тяжело учесть без применения адекватного статистического анализа [8, 9]. Численные параметры используются, но, в большинстве случаев, только для описания отдельных тканей, а не для сравнения их друг с другом [7, 9].

Нашей целью было охарактеризовать гистологические особенности экстраокулярных мышц mdx-мышей и мышей линии C57BI в сравнении с *m. quadriceps femoris* тех же животных методами компьютерной морфометрии и статистического анализа, для:

Адрес для переписки: pavliukster@gmail.com Павлюк Александр Сергеевич



<sup>&</sup>lt;sup>2</sup> Российский государственный медицинский университет, Москва

<sup>&</sup>lt;sup>1</sup> Research Institute of Eye Diseases RAMS, Moscow

<sup>&</sup>lt;sup>2</sup> Staat Medical University of Russia, Moscow

- выявления и оценки степени поражения этой группы мыши:
- выявления информативных показателей, характери зующих глубину и тяжесть развития дегенеративных процессов;
- оценки возможности использования ЭОМ mdx-мышей в качестве модели при разработке клеточных технологий для лечения дегенеративных процессов ЭОМ.

Нами были отобраны морфометрические критерии для оценки процессов дегенерации и регенерации в ЭОМ. Это — число ядер в мышце, число мышечных волокон в мышце, CNI — центральный ядерный индекс и CVA — гетерогенность площади поперечного сечения мышечных волокон в мышце.

#### Материал и методы

Исследование проведено на самцах mdx-мышей и мышах линии C57BI в возрасте 10-12 мес. Мышей содержали в стандартных условиях, в соответствии с этическими нормами и правилами обращения с лабораторными животными.

После декапитации животного глазные яблоки с 30M отделяли от стенок орбиты и век и фиксировали в 10% растворе нейтрального (pH = 7,3) формалина, аналогично обрабатывали m. quadriceps femoris. Весь материал подвергали стандартной гистологической обработке и изготавливали срезы толщиной 4 мкм. Окраску проводили гематоксилином и 903ином.

Морфометрические показатели оценивали методами полуавтоматического морфометрического анализа с использованием программы «Флюороденситоморфометрия» (ЗАО «МеКоС»). Выявляли:

- площадь мышцы на поперечном срезе (соединительная ткань, мышечные волокна);
- площадь соединительной ткани на поперечном срезе мышцы;
- площадь мышечных волокон на поперечном срезе мышцы;
- доля соединительной ткани в мышце (отношение площади соединительной ткани ко всей площади мышцы на поперечном срезе);
- площадь мышечного волокна на поперечном срезе мышцы;
- число мышечных волокон в мышце на поперечном срезе:
- число ядер в на поперечном срезе мышечного волокна;
- число ядер на исследуемом поперечном срезе мышцы;
- плотность ядер в мышце (количество ядер на единицу площади мышцы);
- плотность ядер в мышечных волокнах (количество ядер на единицу площади мышечных волокон в мышце);
- центральный ядерный индекс (CNI) (рассчитывается как отношение числа мышечных волокон с одним и более ядром в центре к общему числу мышечных волокон, исключая мышечные волокна без ядер в поперечном сечении), характеризующий долю регенерировавших волокон;
- гетерогенность площади поперечного сечения мышечных волокон в мышце (CVA); рассчитывается как коэффициент вариации площади поперечного сечения мышечных волокон. Этот признак используется для оценки интенсивности процессов регенерации скелетных мышц: чем больше отличаются отдельные мышечные волокна по своим размерам, тем сильнее выражены процессы восстановления [11].

Для оценки значимости различий средних значений использовали t-критерий Стьюдента (и его модификации) при уровне значимости P = 0,01.

# Результаты и обсуждение

Гистологические данные о строении изученных мышц страдают известной скупостью и не дают существенной информации для сравнительного анализа (рис. 1). Без дополнительных исследований по гистологическим препаратам нельзя судить о наличии достоверных различий между исследуемыми группами. Однако при морфометрическом и последующем статистическом анализе выявлено, что для ЭОМ, также как и для m.quadriceps femoris mdx—мышей характерно статистически значимое изменение некоторых морфометрических признаков относительно контрольной группы мышей линии С57ВI, (табл.). Так в мышцах mdх—мышей, снижаются значения таких абсолютных признаков, как:

- площадь мышцы на поперечном срезе в 3 раза для ЭОМ и в 6 раз для *m. quadriceps femoris*;
- площадь соединительной ткани на поперечном срезе мышцы – в 3 раза для ЭОМ и в 8 раз для *m. quadriceps* femoris;
- площадь мышечных волокон на поперечном срезе мышцы в 2 раза для ЭОМ и в 5 раз для *m. quadriceps femoris*;
- число ядер на исследуемом поперечном срезе мышцы
   в 2 раза для ЭОМ и в 2 раза для m. quadriceps femoris;
- число мышечных волокон в мышце в 3 раза для ЭОМ и в 6 раз для *m. quadriceps femoris*.

Как было показано в исследовании, посвященном изучению процессов дегенерации и регенерации поперечно-полосатой мускулатуры, такое уменьшение площади мышцы, площади отдельных волокон и др. свидетельствуют о дегенеративных процессах в ткани [11]. Таким образом, нами показано наличие процессов дегенерации в ЭОМ, также как и в *m. quadriceps femoris* mdx-мышей.

В ЭОМ mdx-мышей увеличиваются такие относительные признаки как:

- центральный ядерный индекс (CNI);
- коэффициент вариации площади поперечного сечения мышечных волокон (CVA).

Такие изменения по данным тех же авторов [11] говорят о наличии процессов регенерации. Поскольку в исследованных ЭОМ mdx-мышей эти изменения присутствуют, следует констатировать протекание в них и процессов регенерации.

Для *m. quadriceps femoris* mdx-мышей также статистически значимо увеличивается среднее количество ядер в мышечном волокне, плотность ядер в мышце и мышечных волокнах и значимо уменьшается доля соединительной ткани в мышцах относительно контрольной группы мышей линии C57BI, что позволяет определить дегенеративные и регенераторные процессы в мышечной ткани *m. quadriceps femoris* mdx-мышей. Для ЭОМ достоверных изменений этих признаков не выявлено.

При анализе распределения величин поперечного сечения мышечных волокон выявлено увеличение доли волокон с большой площадью в мышцах (m. quadriceps femoris и экстаокулярных мышц) у mdx-мышей по сравнению с линией C57Bl (рис. 2, 3).

Представляется целесообразным предположить, что увеличение количества мышечных волокон с большой площадью является одним из компенсаторных механизмов.

Мы считаем, что абсолютные признаки, такие, как площадь мышцы, площадь соединительной ткани в мышце, площадь мышечных волокон в мышце, напрямую зависят от факторов, которые трудно учесть (уровень и направление среза, расположение мышцы), а потому все эти признаки следует исключить из критериев для оценки степени дистрофии.





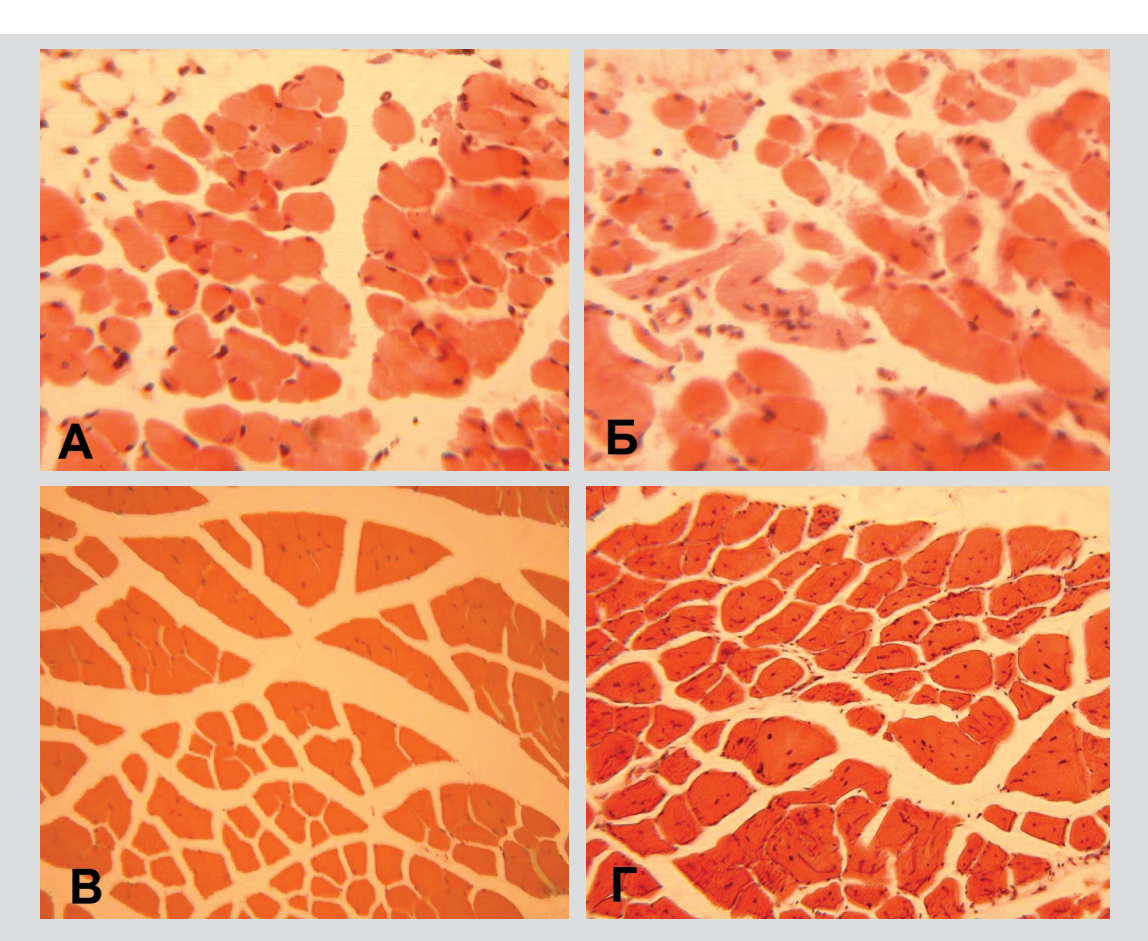


Рис. 1. Попереные срезы исследованных мышц: А – экстаокулярная мышца мыши линии С57ВІ; Б – экстраокулярная мышца mdx-мыши; В – m. quadriceps femoris мыши линии С57ВІ; Г – m. quadriceps femoris mdx-мыши. Окраска: гематоксилин и эозин. А, Б – ×250; В, Г – ×250

## Гистоморфометрическая характеристика экстраокулярных мышц и m. quadriceps femoris mdx-мышей

Параметр, размерность	Экстраокулярные мышцы		m. quadriceps femoris	
	C57BI	mdx	C57BI	mdx
Площадь мышцы (на поперечном срезе)	39311±25998	14138±4666*	299631±63524	53561±40453*
Площадь соед. ткани	17269±12853	5597±2500*	117135±21908	13894±13115*
Площадь мыш. волокон в мышце (на поперечном срезе)	22042 ± 14307	8542±2511*	182496±21908	39667±28699*
Число ядер в мышце	81±42	36±13*	146±35	90±62*
Число мыш. волокон в мышце	69±44	21±8*	90±20	16±13*
Площадь мыш. волокна (на поперечном срезе)	293 ± 133	450±188	1574±652	2200±1119
Ср. кол-во ядер на мыш. волокно	1,3±0,3	1,7±0,6	2±0,5	5,5±1,4
Доля соединительной ткани в мышце, %	42,8±9,1	38,6±7,2	39,1±7,3	23,1±9,7
Плотность ядер в мышце	2316±715	2570±373	489±115	1866±767
Плотность ядер в мыш. волокнах	4143±1465	4276±976	798±131	2374±693
CNI, %	1,45	4,51*	5,33	87,75*
CVA	0,52	0,58*	0,44	0,64*

Примечание: \* – различия статистически значимы.



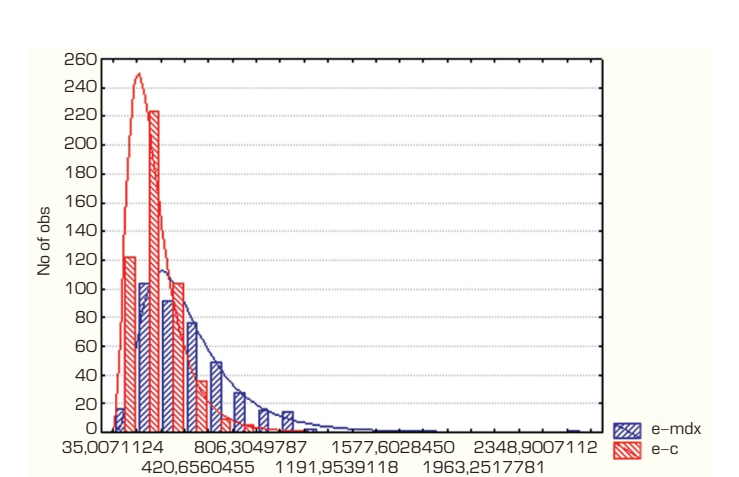


Рис. 2. Гистограмма площади поперечного сечения мышечных волокон в экстраокулярных мышцах мышей линии C57Bl и mdx-мышей

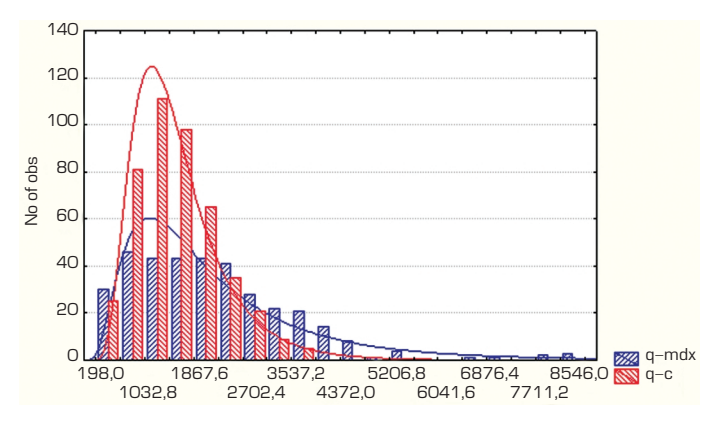
Таким образом, на основании статистически подтвержденных различий между показателями, измеренными у контрольных C57BI и mdx-мышей, для оценки миодистрофии из всех предложенных показателей можно выбрать следующие:

- число ядер на исследуемом поперечном срезе мышцы;
- число мышечных волокон на поперечном срезе мышцы;
- CNI центральный ядерный индекс;
- CVA коэффициент вариации площади поперечного сечения мышечных волокон.

По этим признакам обнаружены значимые различия между группой mdx-мышей и мышей C57Bl как в экстрао-кулярных мышцах, так и в *m. quadriceps femoris.* 

## ЛИТЕРАТУРА:

- 1. Каспаров А.А. Офтальмогерпес. М.: Медицина; 1994.
- 2. Ярыгин В.Н., Сухих Г.Т., Ситников В.Ф. и др. Ксенотрансплантация эмбриональных предшественников миогенеза человека для коррекции дистрофинопатии у мышей с наследственной миодистрофией. Бюллетень экспериментальной биологии и медицины 2003; 136 (7): 100–2.
- 3. Ярыгин В.Н., Стенина М.А., Булякова Н.В. и др. Восстановление икроножной мышцы мышей mdx разного возраста после травмы и при имплантации ксеногенной мышечной ткани. Бюллетень экспериментальной биологии и медицины 2006; 142 [8]: 216-8.
- 4. Сукач А.М. Перспективы использования генной и клеточной терапий для лечения мышечных дистрофий. Клеточная трансплантология и тканевая инженерия 2006; 2 (4): 44–50.
- 5. Ferrari G., Cusella-De Angelis G., Coletta M. et al. Muscle regeneration by bone marrow-derived myogenic progenitors. Science 1998; 279: 1528–30.



Puc. 3. Гистограмма площади поперечного сечения мышечных волокон в m. quadriceps femoris мышей линии C57BI и mdx-мышей

Анализ гистологических препаратов, проведенный с использованием методов объективной морфометрии и статистики, свидетельствует о том, что в экстраокулярных мышцах mdx-мышей имеют место процессы дегенерации и регенерации меньшей степени выраженности, чем в *m. quadriceps femoris*, что, в целом, согласуется с существующими литературными данными о том, что ткани ЭОМ являются структурно дефектными, но имеют механизмы компенсации [7, 8, 10].

Таким образом, нами установлено, что экстраокулярные мышцы mdx-мышей можно использовать в качестве экспериментальной модели миодистрофических процессов глазодвигательных мышц, в частности, для разработки методов клеточной и генной терапии миодистрофий в офтальмологии.

- Bulfield G., Siller W.G. et al. X chromosome–linked muscular dystrophy (mdx) in the mouse. PNAS USA 1984; 81: 1189–92.
   Khurana T.S., Prendergast R.A., Alameddine H.S. et al. Absence of
- 7. Khurana T.S., Prendergast R.A., Alameddine H.S. et al. Absence of Extraocular Muscle Pathology in Duchenne's Muscular Dystrophy: Role for Calcium Homeostasis in Extraocular Muscle Sparing. J. Exp. Med. 1995; 182: 467–75.

  8. Porter J.D., Rafael J.A., Ragusa R.J. et al. The sparing of extraocular
- 8. Porter J.D., Rafael J.A., Hagusa R.J. et al. The sparing of extraocular muscle in dystrophinopathy is lost in mice lacking utrophin and dystrophin. J. Cell Science 1998; 111: 1801–11.
- 9. Porter J.D., Merriam A.P., Sangeeta K. et al. Constitutive properties, not molecular adaptations, mediate extraocular muscle sparing in dystrophic mdx mice. FASEB J. 2003; 17: 893–5.
- 10. Budak M.T., Bogdanovich S., Wiesen-Martin H.J. et al. Layerspecific differences of gene expression in extraocular muscles identified by laser-capture microscopy. Physiol. Genomics 2004; 20: 55–65.
- 11. Chambers R.L., McDennott J.C. Molecular basis of skeletal muscle regeneration. Can. J. Appl. Physiol. 1996; 21 (3): 155–84.

Поступила 17.06.2008



